

I-31 連続アーチの精密解法

九州大学工学部

正員

山崎徳也

" "

○南地

富士製鉄

" "

白石基雄

1. 緒言 連続アーチの精密解法の一つに三瀧博士の「九変位の定理」があるが、著者の一人がかつて求めた軸力セン断力も考慮した曲線材のタワミ角式との対比においてこの九変位の定理に軸力および温度項の影響との幾何学的变形が欠けていることが認められた。一方この幾何学的变形は構造力学の教科書にも記せられ精密解法としては無視しえるものである。したがって本報告ではこより幾何学的变形を導入して九変位の定理を完全化することを第一目的とする。次に上記タワミ角式において発表時に欠如していた温度項を補い本式を完全に一般化し、九変位のそれと照査しきの正当さを認めた。以上2項目について要記するが、九変位の定理については三瀧博士の記号表現をそのまま用いた。

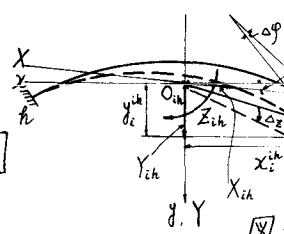
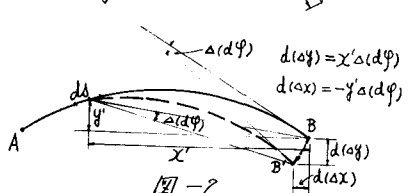
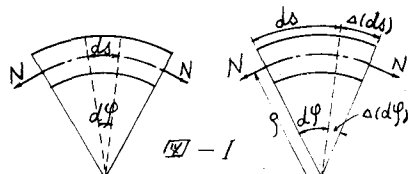
2. 幾何学的变形

いま軸力(引張正) N による微小長さ ds の伸びは $\Delta(ds) = \frac{N \cdot ds}{EA}$ とする(図-1参照)。二点 i による中心角の微小変化は $\Delta(d\varphi) = \frac{\alpha(ds)}{r} = \frac{N \cdot ds}{EA^2}$ 。

よって往復裏の $d\varphi$ 部分の伸びにより柱端 B は B' に移り、接線は $\Delta(d\varphi)$ だけ回転する(図-2参照)。以上は軸力 N によるものであるが、温度応力の場合も同様となる。すなわち温度上昇を正とする時 $\Delta(ds) = Et \cdot ds$, $\Delta(d\varphi) = \frac{Et \cdot ds}{r}$ 。

したがって軸力および温度上昇による弾性重心 O_{ih} の幾何学的变形を正とすれば、それぞれ次のようく得られる(図-3参照)。

$$\begin{aligned}\Delta_x^{ih} &= \Delta_x \cos \alpha_{ih} + \Delta_y \sin \alpha_{ih} + (Y_{ih}^{ih} \cdot \cos \alpha_{ih} - X_{ih}^{ih} \cdot \sin \alpha_{ih}) \Delta_z \\ &= \cos \alpha_{ih} \left[\left(\frac{Y}{r} N_{ih}^o dw' + X_{ih}^{ih} \right) \frac{Y}{r} \cos(\varphi - \alpha_{ih}) dw' \right. \\ &\quad \left. + Y_{ih}^{ih} \frac{Y}{r} \sin \varphi dw' + \left(\frac{Et}{r} Y \right) ds \right] \\ \Delta_y^{ih} &= \Delta_y - \Delta_x^{ih} \Delta_z = - \cos \alpha_{ih} \left[\left(\frac{X}{r} N_{ih}^o dw' \right. \right. \\ &\quad \left. \left. + X_{ih}^{ih} \right) \frac{X}{r} \cos(\varphi - \alpha_{ih}) dw' + Y_{ih}^{ih} \frac{X}{r} \sin \varphi dw' + \left(\frac{Et}{r} X \right) ds \right] \\ \Delta_z^{ih} &= \Delta_z = \int \frac{N_{ih}^o}{r} dw' + X_{ih}^{ih} \int \frac{1}{r} \cos(\varphi - \alpha_{ih}) dw' \\ &\quad + Y_{ih}^{ih} \int \frac{1}{r} \sin \varphi dw' + \int \frac{Et}{r} ds\end{aligned}$$



$$\begin{aligned}\Delta_x &= - \int (-Y + Y_i^{ih} - X \sin \alpha_{ih}) \frac{N ds}{EA^2} \\ &\quad - \int (-Y + Y_i^{ih} - X \sin \alpha_{ih}) \frac{Et \cdot ds}{r} \\ \Delta_y &= \int (-X \cos \alpha_{ih} + X_i^{ih}) \frac{N ds}{EA^2} \\ &\quad + \int (-X \cos \alpha_{ih} + X_i^{ih}) \frac{Et \cdot ds}{r} \\ \Delta_z &= \int \frac{N ds}{EA^2} + \int \frac{Et \cdot ds}{r}\end{aligned}$$

3. 九変位の定理

上記 $\bar{\Delta}$ を加味すれば、次の如く一般的な変形式が得られる。

$$\Delta_x^{ih} = \int \frac{M}{EI} \frac{\partial M}{\partial x_{ih}} ds + \int \frac{N}{EA} \frac{\partial N}{\partial x_{ih}} ds + \int \frac{KT}{GA} \frac{\partial T}{\partial x_{ih}} ds + \int Et \frac{\partial N}{\partial x_{ih}} ds + \int Et \frac{\partial M}{\partial x_{ih}} ds + \bar{\Delta}_x^{ih} = A_{ih} \cdot X_{ih} + B_{ih} \cdot Y_{ih} + G_{ih} \quad (1)$$

$$\Delta_y^{ih} = \int \frac{M}{EI} \frac{\partial M}{\partial y_{ih}} ds + \int \frac{N}{EA} \frac{\partial N}{\partial y_{ih}} ds + \int \frac{KT}{GA} \frac{\partial T}{\partial y_{ih}} ds + \int Et \frac{\partial N}{\partial y_{ih}} ds + \int Et \frac{\partial M}{\partial y_{ih}} ds + \bar{\Delta}_y^{ih} = A_{ih} \cdot X_{ih} + B_{ih} \cdot Y_{ih} + G_{ih} \quad (2)$$

$$\Delta_z^{ih} = \int \frac{M}{EI} \frac{\partial M}{\partial z_{ih}} ds + \int \frac{N}{EA} \frac{\partial N}{\partial z_{ih}} ds + \int \frac{KT}{GA} \frac{\partial T}{\partial z_{ih}} ds + \int Et \frac{\partial N}{\partial z_{ih}} ds + \int Et \frac{\partial M}{\partial z_{ih}} ds + \bar{\Delta}_z^{ih} = A_{ih} \cdot X_{ih} + B_{ih} \cdot Y_{ih} + C_{ih} \cdot Z_{ih} + G_{ih} \quad (3)$$

$$ここで M = M_{ih}^o + X_{ih} \cdot Y - Y_{ih} \cdot X + Z_{ih}, \quad N = N_{ih}^o + X_{ih} \cdot \cos(\varphi - \alpha_{ih}) + Y_{ih} \cdot \sin \varphi, \quad T = T_{ih}^o - X_{ih} \cdot \sin(\varphi - \alpha_{ih}) + Y_{ih} \cdot \cos \varphi$$

(1), (2), (3) 式を連立して解けば

$$\begin{aligned}X_{ih} &= A_{ih} \cdot \Delta_x^{ih} + A_{zih} \cdot \Delta_y^{ih} + A_o^{ih} \\ Y_{ih} &= B_{ih} \cdot \Delta_x^{ih} + B_{zih} \cdot \Delta_y^{ih} + B_o^{ih} \\ Z_{ih} &= C_{ih} \cdot \Delta_x^{ih} + C_{zih} \cdot \Delta_y^{ih} + C_{zih} \cdot \Delta_z^{ih} + C_o^{ih}\end{aligned}\quad \left. \right\} \quad (4)$$

(一) 材料についても同じく次式をうる。

$$\begin{aligned}X_{ik} &= A_{ik} \cdot \Delta_x^{ik} + A_{zik} \cdot \Delta_y^{ik} + A_o^{ik} \\ Y_{ik} &= B_{ik} \cdot \Delta_x^{ik} + B_{zik} \cdot \Delta_y^{ik} + B_o^{ik} \\ Z_{ik} &= C_{ik} \cdot \Delta_x^{ik} + C_{zik} \cdot \Delta_y^{ik} + C_{zik} \cdot \Delta_z^{ik} + C_o^{ik}\end{aligned}\quad \left. \right\} \quad (5)$$

橋脚 i-j については何ら加味すべき点はない

$$X_{ij} = A_p \cdot \Delta_{ij}^p + A_o^p, \quad Y_{ij} = B_p \cdot \Delta_{ij}^p + B_o^p, \quad Z_{ij} = C_p \cdot \Delta_{ij}^p + C_o^p \quad \dots \dots \dots (6)$$

(4), (5) および (6) 式を用いて i 点での釣合式を整理し、格架変位 P, Q, R を置き換えれば 所要の九変位の定理の完全式が得られる。

$$A_{xk} P_k + A_{xi} P_i + A_{xk} P_k + B_{xk} \theta_k + B_{xi} \theta_i + B_{xk} \theta_k + C_{xi} \gamma_i + C_{xk} \gamma_k + C_{xi} \gamma_i + C_{xk} \gamma_k = H_i$$

$$A_{yk} P_k + A_{yi} P_i + A_{yk} P_k + B_{yk} \theta_k + B_{yi} \theta_i + B_{yk} \theta_k + C_{yi} \gamma_i + C_{yk} \gamma_k + C_{yi} \gamma_i + C_{yk} \gamma_k = V_i$$

$$A_{zk} P_k + A_{zi} P_i + A_{zk} P_k + B_{zk} \theta_k + B_{zi} \theta_i + B_{zk} \theta_k + C_{zi} \gamma_i + C_{zk} \gamma_k + C_{zi} \gamma_i + C_{zk} \gamma_k = M_i$$

ここで A, B, C および右辺は (1) すなはち形状および荷重により決まる常数である。

4. 等断面円弧材のタウミ角式への温度項導入

タウミ角式で用いたと同様、温度下降をあらためて正とするとき

$$N_t = \varepsilon t_0 EA \quad (\text{図-4 参照}), \quad -N_t = H \cos \varphi - V \sin \varphi \quad (\text{図-5 参照})$$

Castigliano の定理より 弹性変形 (7)

$$\tau_{At}^M = \int \frac{M_t}{EA} \frac{\partial M_t}{\partial \tau_{At}} ds = \frac{1}{2 \sin \alpha} \int_{\alpha}^{\pi} \varepsilon t_0 \sin \varphi d\varphi$$

$$\tau_{At}^V = \int \frac{M_t}{EA} \frac{\partial M_t}{\partial V} ds = \frac{1}{2 \sin \alpha} \int_{\alpha}^{\pi} \varepsilon t_0 \sin \varphi d\varphi$$

$$\Delta l_{tN} = \int \frac{M_t}{EA} \frac{\partial l_{tN}}{\partial H} ds = r \int_{\alpha}^{\pi} \varepsilon t_0 \cos \varphi d\varphi$$

$$\times M_t = \frac{\varepsilon \cdot \alpha \cdot EI}{d} \quad (\text{図-4 参照}), \quad -M_t = M_{AB} \frac{l-x}{l} - M_{BA} \frac{x}{l} - H Y \quad (\text{図-5})$$

Castigliano の定理より 弹性変形 (8)

$$\tau_{At}^M = \int \frac{M_t}{EI} \frac{\partial M_t}{\partial M_{AB}} ds = \frac{r}{2 \sin \alpha} \int_{\alpha}^{\pi} \varepsilon t_0 (\sin \alpha - \sin \varphi) d\varphi$$

$$\tau_{At}^V = \int \frac{M_t}{EI} \frac{\partial M_t}{\partial V} ds = -\frac{r}{2 \sin \alpha} \int_{\alpha}^{\pi} \varepsilon t_0 (\sin \alpha + \sin \varphi) d\varphi$$

$$\Delta l_{tN} = \int \frac{M_t}{EI} \frac{\partial l_{tN}}{\partial H} ds = r^2 \int_{\alpha}^{\pi} \varepsilon t_0 (\cos \alpha - \cos \varphi) d\varphi$$

幾何学的変形 (図-6 参照) は $\bar{\tau}_{At}^M = -(\Delta \varphi - \beta) = -(\Delta \varphi - \frac{\Delta Y}{l}) = -\frac{1}{2 \sin \alpha} \int_{\alpha}^{\pi} \varepsilon t_0 (\sin \alpha + \sin \varphi) d\varphi$

$$\bar{\tau}_{At}^V = \Delta \varphi - \beta = \frac{1}{2 \sin \alpha} \int_{\alpha}^{\pi} \varepsilon t_0 (\sin \alpha - \sin \varphi) d\varphi, \quad \Delta l_{tN} = \Delta X = Y \int_{\alpha}^{\pi} \varepsilon t_0 (\cos \alpha - \cos \varphi) d\varphi$$

よって 曲げモーメント、転曲力、せん断力および 温度の影響を考慮した 切線角 τ_A, τ_B は

$$\tau_A = \bar{\tau}_{At}^M + \bar{\tau}_{At}^V + \bar{\tau}_A^S + \bar{\tau}_{At}^N + \bar{\tau}_A^R + \bar{\tau}_{At}^H \quad \dots \dots \dots (7) \quad \tau_B = \bar{\tau}_{Bt}^M + \bar{\tau}_{Bt}^V + \bar{\tau}_B^S + \bar{\tau}_{Bt}^N + \bar{\tau}_B^R + \bar{\tau}_{Bt}^H \quad \dots \dots \dots (8)$$

式 (7), (8) を解き、さらに置換すれば 次式を得る (文献(Z) 参照)。

$$M_{AB} = k_{AB} (A_o \phi_A + B_o \phi_B) + \frac{L_{AB}}{3} (A_o + B_o) (\bar{X}_B - \bar{X}_A) \sin \frac{\mu}{AB} - \frac{L_{AB}}{3} (A_o + B_o) (\bar{Y}_B - \bar{Y}_A) \cos \frac{\mu}{AB} + \Lambda_o H - C_{AB}$$

$$M_{BA} = k_{AB} (B_o \phi_A + A_o \phi_B) + \frac{L_{AB}}{3} (A_o + B_o) (\bar{X}_B - \bar{X}_A) \sin \frac{\mu}{AB} - \frac{L_{AB}}{3} (A_o + B_o) (\bar{Y}_B - \bar{Y}_A) \cos \frac{\mu}{AB} - \Delta_o H + C_{BA}$$

$$\text{ただし } C_{AB} = \frac{1}{\alpha} \left\{ (A_o + B_o) (\bar{Y} + \Delta) + A_o (K_1 + \Pi_{AB} + \Phi_{AB} + \frac{4\mu}{AB}) + B_o (K_2 + \Pi_{BA} + \Phi_{BA} + \frac{4\mu}{BA}) \right\}$$

$$C_{BA} = -\frac{1}{\alpha} \left\{ (A_o + B_o) (\bar{Y} + \Delta) + B_o (K_1 + \Pi_{AB} + \Phi_{AB} + \frac{4\mu}{AB}) + A_o (K_2 + \Pi_{BA} + \Phi_{BA} + \frac{4\mu}{BA}) \right\}$$

$$\text{上式中 } \Phi_{AB} = \frac{EI}{2\sqrt{l}} \int_{\alpha}^{\pi} \varepsilon t_0 d\varphi = -\Phi_{BA}, \quad \frac{4\mu}{AB} = \frac{EI}{2 \sin \alpha} \int_{\alpha}^{\pi} \varepsilon t_0 (\sin \alpha - \sin \varphi) d\varphi, \quad \frac{4\mu}{BA} = -\frac{EI}{2 \sin \alpha} \int_{\alpha}^{\pi} \varepsilon t_0 (\sin \alpha + \sin \varphi) d\varphi$$

次にスパン方程式 (9) $\Delta l_{AB} = \Delta l_H + \Delta l_N + \Delta l_S + \Delta l_{tN} + \Delta l_{tH} \quad \dots \dots \dots (9)$ (9) 式を解いて $H = \bar{Y}$

$$\text{ただし } \bar{Y} = 65 - 6 \Lambda_o + 3V^2 \frac{(\alpha + \sin \alpha \cos \alpha)}{\alpha} - \frac{3V^2 (\lambda - \sin \alpha \cos \alpha)}{\alpha} + \frac{3V^2 (\alpha - \sin \alpha \cos \alpha)}{\alpha} \cdot 2Z(m+1)$$

$$\bar{Y} = 3\lambda (A_o - B_o) (\phi_A - \phi_B) k_{AB} + L_{AB} \left\{ (\bar{X}_B - \bar{X}_A) \cos \frac{\mu}{AB} + (\bar{Y}_B - \bar{Y}_A) \sin \frac{\mu}{AB} \right\} - 3\lambda (C_{AB} + C_{BA}) + \frac{6}{W} (N - N_1 - N_2 - S - N_3 - N_4)$$

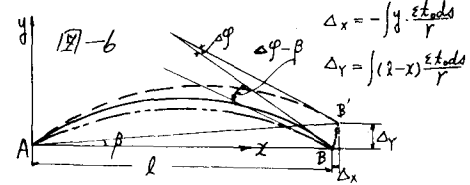
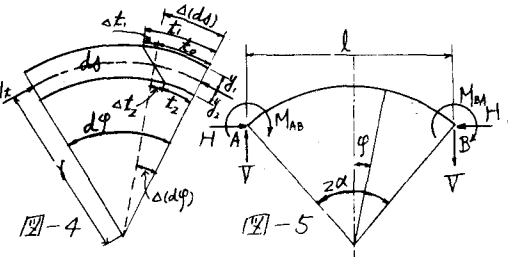
$$\text{上式中 } N_3 = r \cos \alpha \int_{\alpha}^{\pi} \varepsilon t_0 d\varphi, \quad N_4 = r^2 \int_{\alpha}^{\pi} \varepsilon t_0 (\cos \alpha - \cos \varphi) d\varphi$$

放物線材への温度項導入も上記円弧材と全く同様に行なう。本研究には文部省科学研究費の補助を受けたことを附記する。

文献 (1) K. Mise ; Analysis of Continuous Arch Systems and Theorem of Nine Displacements. 大工学部紀要 7巻5号, 1935

(2) T. Yamazaki ; Analysis of Frames with Curved Members considering the Effects of Axial and Shearing Forces.

Proc. 11th Japan Nat. Cong. Appl. Mech. Mar. 1962. (3) S. T. Carpenter ; Structural Mechanics, 1960



$$\Delta_X = -\int_0^l \frac{\varepsilon t_0 ds}{r} \quad \Delta_Y = \int_{(2-l)}^l \frac{\varepsilon t_0 ds}{r}$$